# 蒲葵子总黄酮对肝损伤的保护作用及机制研究

罗晓云 1,3, 麦燕随 1,3, 朱 丽 1,3, 张晓君 1, 黄 松 1,2,3\*, 赖小平 1,2,3

- 1. 广州中医药大学 新药开发研究中心, 广东 广州 510006
- 2. 东莞广州中医药大学中医药数理工程研究院, 广东 东莞 523808
- 3. 广东省中药新药研发重点实验室, 广东 广州 510006

摘 要:目的 研究蒲葵子总黄酮(total flavonoids of *Fructus Livistonae*,TFFL)对对乙酰氨基酚(acetaminophen,APAP)诱导的人正常肝细胞 LO2 损伤的作用,初步探究 TFFL 保护肝损伤的作用机制。方法 MTT 法考察 TFFL 对 LO2 细胞的毒性及对 APAP 诱导的 LO2 细胞存活率的影响;流式细胞术和 Hoechst 33342 染色法考察 LO2 细胞凋亡率;试剂盒检测 LO2 细胞中丙二醛(MDA)、还原型谷胱甘肽(GSH)水平及天冬氨酸转氨酶(AST)、超氧化物歧化酶(SOD)活性;Western blotting 法检测 LO2 细胞中诱导型一氧化氮合酶(iNOS)和硝基化酪氨酸微管蛋白(NT)表达水平。结果 TFFL 在给定质量浓度下对 LO2 细胞无毒性,且可促进其增殖。对 APAP 诱导的 LO2 细胞损伤,TFFL 预防给药能够显著减少细胞凋亡,降低细胞中 AST 活性和 MDA 水平,升高 SOD 活性和 GSH 水平,抑制细胞中 iNOS 和 NT 蛋白的表达。结论 TFFL 对 APAP 诱导的 LO2 细胞损伤具有一定的保护作用,其作用机制可能与抑制氧化应激和硝化应激有关。

关键词: 蒲葵子; 总黄酮; 对乙酰氨基酚; 肝损伤; 细胞损伤

中图分类号: R285.5 文献标志码: A 文章编号: 0253 - 2670(2019)04 - 0925 - 06

**DOI:** 10.7501/j.issn.0253-2670.2019.04.020

# Protective effect and mechanism of total flavonoids of *Fructus Livistonae* on acetaminophen-induced liver injur

LUO Xiao-yun<sup>1,3</sup>, MAI Yan-sui<sup>1,3</sup>, ZHU Li<sup>1,3</sup>, ZHANG Xiao-jun<sup>1</sup>, HUANG Song<sup>1,2,3</sup>, LAI Xiao-ping<sup>1,2,3</sup>

- 1. Guangzhou University of Chinese Medicine, Guangzhou 510006, China
- 2. Dongguan Institution for Mathematics and Theoretics Engineering Research of Guangzhou University of Chinese Medicine, Dongguan 523808, China
- 3. Guangdong Provincial Key Laboratory of New Chinese Medicine Research and Development, Guangzhou 510006, China

**Abstract: Objective** To research the effects of total flavonoids of *Livistona chinensis* (TFFL) on normal liver LO<sub>2</sub> cells induced by acetaminophen (APAP), and study the liver protective mechanism on liver injury induced by acetaminophen *in vitro*. **Methods** The effects of TFFL on LO<sub>2</sub> cells and cell activity induced by acetaminophen were determined by MTT method; The apoptosis rate of LO<sub>2</sub> cells induced by APAP was researched by Flow Cytometry combine with staining agent Hoechst 33342; The levels of malondialdehyde (MDA), aspartate aminotransferase (AST), reduced glutathione (GSH), and superoxide dismutase (SOD) were examined; The expressions of iNOS and nitrotyrosine tubulin (NT) in APAP-induced LO<sub>2</sub> hepatocyte injury cells was studied by Western blotting method. **Results** TFFL had no toxicity to LO<sub>2</sub> cells at a given concentration which can promote the proliferation. At the same time, experiment results showed that TFFL prophylactically reduced the apoptosis of LO<sub>2</sub> cells induced by APAP. TFFL decreased the level of AST and MDA, increase the level of GSH and SOD, and inhibit the expressions of iNOS protein and NT protein. **Conclusion** TFFL has a protective effect on LO<sub>2</sub> cells injury induced by APAP. The possible protective mechanism of TFFL is related to the inhibition of oxidative stress and the nitro stress.

**Key words:** Fructus Livistonae; total flavonoids; acetaminophen; liver injury; cell injury

肝脏是人体最大的脏器,对人体的生理功能调 毒环境等都会对肝脏造成损伤<sup>[1]</sup>。肝脏疾病是影响 节有重大作用。药物滥用、嗜酒以及长期暴露于有 人类健康最为常见的疾病之一,目前对于肝脏疾病

收稿日期: 2018-12-10

基金项目: 广东省重大科技计划项目(2013A022100002)

作者简介: 罗晓云 (1992—), 女,中药学在读硕士,主要从事中药新药研究。E-mail: 568742704@qq.com

<sup>\*</sup>通信作者 黄 松,男,博士,研究员,主要从事新药研究开发。

的防治仍是一个严峻的课题。临床上对肝病的控制 多采用化学药如联苯双酯等,但其具有肝肾毒性, 且容易造成心血管疾病等不良反应,限制了临床应 用,故中医药防治肝损伤具有重要的临床意义。

蒲葵子 Fructus Livistonae 为棕榈科蒲葵树 Livistona chinensis R. Br. 的种子。其味苦,性寒,有小毒,有抗癌、凉血止血、止痛的作用,主产于两广、福建和台湾等地[2-3],民间广泛用于治疗肝炎及食道癌、鼻咽癌、恶性葡萄胎、白血病、绒毛膜上皮癌、肺癌等[3]。文献报道蒲葵子的水提物、乙醇提取物和醋酸乙酯提取物均有一定的抗氧化活性,特别是蒲葵子黄酮部分[4-7]。在南方蒲葵子常用来治疗肝炎,但具体作用及机制尚不明确。本课题组前期研究发现蒲葵子总黄酮(TFFL)具有清除自由基、抗氧化等活性[4]。本实验在前期研究基础上考察 TFFL 对氧化损伤肝细胞的保护作用,探究其保肝机制。

对乙酰氨基酚(APAP)属苯胺类解热镇痛药,是大多数解热镇痛复方制剂的主要成分。APAP 具有肝毒性,在治疗剂量被认为是安全的,但过量常引起急性肝衰竭<sup>[8]</sup>。因此本实验以 APAP 诱导肝细胞损伤,初步探讨 TFFL 对 APAP 诱导的肝损伤的保护作用及机制。

# 1 材料

# 1.1 细胞

人正常肝细胞 LO<sub>2</sub> 来源于中国医学科学院细胞库。

# 1.2 药物与试剂

蒲葵子来源于江门德鑫制药有限公司(批号523420213),经广州中医药大学新药研发中心主任 黄松教授鉴定为棕榈科蒲葵树 Livistona chinensis R. Br. 的种子;对乙酰氨基酚(批号1611129-6,上海麦克林生化科技有限公司);联苯双酯片(批号5341533,北京协和药厂);天冬氨酸转氨酶(AST)、谷胱甘肽(GSH)、丙二醛(MDA)、超氧化物歧化酶(SOD)检测试剂盒(南京建成生物科技有限公司);Hoechst33342 染色液(上海碧云天生物技术有限公司);诱导型一氧化氮合酶(iNOS)、硝基化 酪氨酸微管蛋白(NT)抗体(Abcam 公司);PMSF(100 mmol/L)、HRP标记山羊抗兔二抗、HRP标记驴抗山羊二抗(武汉谷歌生物科技有限公司);BCA蛋白定量检测试剂盒(康为世纪生物科技有限公司)。

#### 1.3 仪器

TGL-16c 离心机(安亭仪器厂); TYXH-II 涡旋器(天悦电子科技有限公司); AlphaEaseFC 灰度分析软件(Alpha Innotech 公司); DYY-6C 电泳仪(北京六一仪器厂); TL-420D 水浴锅(姜堰市天力医疗器械厂有限公司); BCD-186 冰箱(西门子公司); Adobe PhotoShop 图像分析系统(Adobe 公司); Gallios 流式细胞仪(Beckman 公司)。

### 2 方法

# 2.1 TFFL 制备

将蒲葵子原药材水洗、晒干、破壳、打粉,过2号筛,用70%乙醇1:10提取3次,每次1h,合并滤液,回收乙醇,得浸膏①。将浸膏①以大孔树脂吸附(柱径比1:10),50%乙醇洗脱,收集洗脱液,回收乙醇,得浸膏②。浸膏②用聚酰胺纯化,50%乙醇洗脱,收集洗脱液,回收乙醇,得浸膏,干燥,即TFFL。以芦丁为对照品,TFFL经紫外分光光度计测定,总黄酮质量分数>75%。

# 2.2 APAP 诱导肝细胞损伤模型制备

细胞复苏、培养和传代后,取对数生长期细胞,调整密度至 8×10<sup>4</sup>个/mL, 轻轻混匀接种于 96 孔板中,每孔加入 100 μL,边缘孔加 100 μL PBS 溶液保湿,置于细胞培养箱培养 24 h。吸弃细胞上清液,加入新鲜配制的不同浓度的 APAP 溶液 100 μL(30、20、15、10、8、5、2 μmol/L),置于细胞培养箱中反应 9、13、16、19 h,每组 5 个复孔。每孔加入10 μL 的 5 mg/mL MTT 溶液,细胞培养箱中反应 4 h。弃去细胞上清液,加入 200 μL DMSO 溶液,轻轻震荡 10 min,酶标仪上在 490 nm 下测量吸光度(A)值。计算细胞存活率。

细胞存活率= $(A_{\text{$\frac{a}{5}}}-A_{\text{$\frac{c}{2}}})/(A_{\text{$\frac{d}{M}}}-A_{\text{$\frac{c}{2}}})$ 

#### 2.3 TFFL 对 LO<sub>2</sub>细胞的毒性考察

细胞培养同"2.2"项,吸弃细胞上清液,加入新鲜配制的不同质量浓度的TFFL溶液100  $\mu$ L(1000、625、500、125、25、5  $\mu$ g/mL),置于细胞培养箱中反应13 h。每孔加入10  $\mu$ L的5  $\mu$ mg/mLMTT溶液,细胞培养箱中反应4 h。弃去细胞上清液,加入200  $\mu$ LDMSO溶液,轻轻震荡10  $\mu$ min,酶标仪490  $\mu$ m下测量  $\mu$  值。计算细胞存活率。

# 2.4 TFFL对APAP诱导的LO2细胞存活率的影响

取对数生长期细胞,调整密度为  $8\times10^4$  个/mL,轻轻混匀接种于 96 孔板中,每孔  $100~\mu$ L,边缘孔加  $100~\mu$ L PBS 溶液保湿。将接种好的细胞置于细胞

培养箱培养 24 h。设对照组、模型组、阳性对照联苯双酯片(12  $\mu$ mol/L)组及 TFFL 高、中、低质量浓度组。吸去细胞上清液,各给药组分别加入培养基稀释的 TFFL 200、100、50  $\mu$ g/mL 及联苯双酯片 24  $\mu$ mol/L 各 100  $\mu$ L,作用 1 h,加入 APAP(10  $\mu$ mol/L)100  $\mu$ L,使 TFFL 终质量浓度分别为 100、50、25  $\mu$ g/mL,联苯双酯片终浓度为 12  $\mu$ mol/L。置于细胞培养箱中反应 13 h 后,每孔加入 5  $\mu$ m/mL MTT 溶液 10  $\mu$ L,细胞培养箱中反应 4 h。弃去细胞上清液,加入 200  $\mu$ L DMSO 溶液,轻轻震荡 10  $\mu$ mi,酶标仪上在 490 nm 下测量  $\mu$  值。计算细胞存活率。

# 2.5 流式细胞仪测定细胞凋亡

细胞悬液密度调整至 3.2×10<sup>5</sup> 个/mL,接种于 6 孔板中,每孔加入 1 mL,置于细胞培养箱培养 24 h。分组及处理同"2.4"项,APAP 处理 13 h 后按照 BD 556547 AnnexinV-FITC/PI 细胞凋亡双染试剂盒说明书操作进行检测。

# 2.6 细胞核染色剂 Hoechst 33342 法测定细胞凋亡

细胞悬浮液调整密度至 1.6×10<sup>5</sup> 个/mL, 轻轻混匀接种于 6 孔板中,每孔加入 1 mL,置于细胞培养箱培养 24 h。吸去细胞上清液,分组及处理同"2.4"项。APAP 处理 13 h 后用 Hoechest33342 法染色:将染色液母液配成质量浓度为 10 μg/mL, 6 孔板中每孔加入染色液 1 mL。避光孵育 15 min。弃去上清液,PBS 洗 3 次,荧光显微镜下观察。

# 2.7 AST、GSH、SOD、MDA 水平检测

细胞分组及处理同"2.4"项,APAP处理13h后按照AST、GSH、SOD、MDA试剂盒说明书操作进行检测。

# 2.8 Western blotting 法检测 LO<sub>2</sub> 细胞 iNOS 和 NT 蛋白表达水平

细胞处理同"2.4"项,收集细胞,加裂解液悬浮细胞离心,取上清,测定蛋白浓度,经 SDS-PAGE 电泳后,300 mA 恒流转膜 1 h。用 5%的脱脂牛奶将转好的膜封闭 1 h。一抗(1:1000)4  $\mathbb{C}$  解育过夜;TBST 洗 3 次,每次 5 min;二抗(1:3 000)室温孵 30 min 后,TBST 洗 3 次,每次 5 min。PVDF 膜与混合液充分接触  $1\sim2$  min,去尽残液,包好,暗匣中曝光。显影、定影并进行凝胶图像分析。

#### 3 结果

# 3.1 APAP 诱导肝细胞损伤

图 1 结果表明,APAP 2、5  $\mu$ mol/L 对 LO<sub>2</sub> 细胞 损伤很小,当浓度为 8~20  $\mu$ mol/L 时,APAP 对 LO<sub>2</sub>

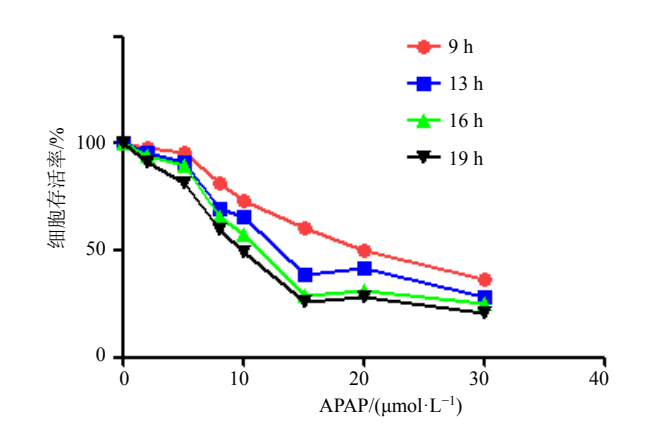


图 1 APAP 对 LO<sub>2</sub> 细胞活性的影响 ( $\bar{x} \pm s, n = 5$ ) Fig. 1 Effects of APAP on survival rate of LO<sub>2</sub> cells ( $\bar{x} \pm s, n = 5$ )

细胞损伤程度与浓度呈正相关。当 APAP 浓度>20  $\mu mol/L$  时,细胞存活率下降趋于平缓,可能是由于细胞对药物产生了抗药性。APAP 作用  $9\sim19\,h$  时,细胞活性下降最快,因此选择 APAP 浓度为  $10\,\mu mol/L$ ,造模时间为  $13\,h$ 。

# 3.2 TFFL 对 LO<sub>2</sub>细胞的毒性研究

图 2 结果表明,与对照组比较,TFFL 质量浓度为  $5\sim1~000~\mu g/mL$  时细胞存活率提高,表明 TFFL 对  $LO_2$  细胞增殖无明显的抑制作用,且能促进细胞增殖。

# 3.3 TFFL 对 APAP 诱导的 LO<sub>2</sub> 细胞存活率的影响

结果(图 3)表明,与对照组比较,模型组细胞存活率显著降低(P<0.01)。与模型组比较,TFFL各质量浓度组细胞存活率显著升高(P<0.01)。表明 TFFL 对 APAP 诱导的  $LO_2$  细胞损伤有一定的保护作用,且呈剂量依赖性。

# **3.4 TFFL** 对 **APAP** 诱导的 **LO**<sub>2</sub> 细胞凋亡的影响 流式细胞仪检测结果(图 4、5)表明,与对照

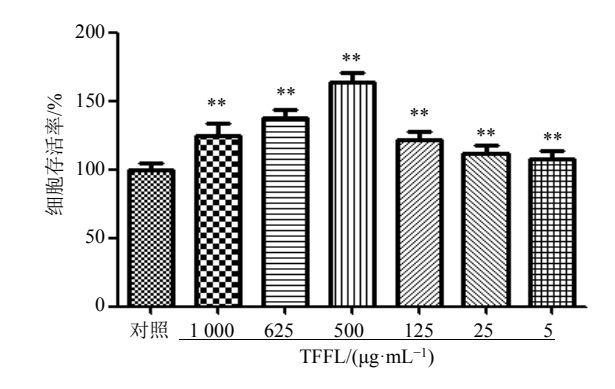
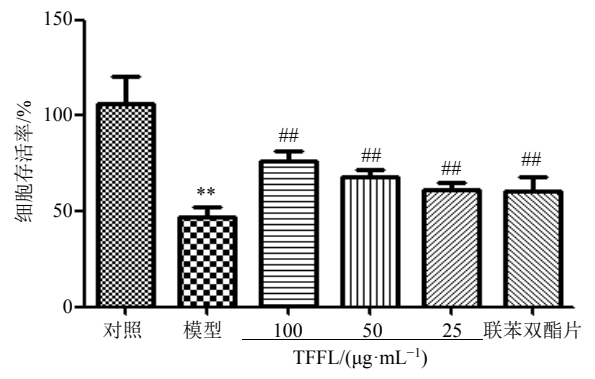


图 2 TFFL 对 LO2 细胞存活率的影响  $(\bar{x} \pm s, n = 5)$  Fig. 2 Effect of TFFL on survival rate of LO2 cells  $(\bar{x} \pm s, n = 5)$ 



与对照组比较: \*\*P<0.01;与模型组比较: #\*P<0.01,下同 \*\*P<0.01 vs model group, same as below

图 3 TFFL 对 APAP 诱导的 LO<sub>2</sub> 细胞存活率的影响  $(\bar{x} \pm s, n = 5)$ 

Fig. 3 Effect of TFFL on APAP-induced survival rate of LO<sub>2</sub> cells ( $\bar{x} \pm s, n = 5$ )

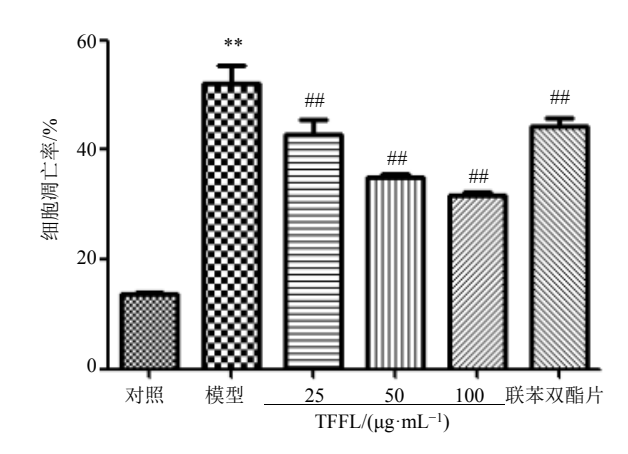


图 4 TFFL 对 APAP 诱导的 LO<sub>2</sub> 细胞凋亡率的影响  $(\bar{x} \pm s, n = 5)$ 

Fig. 4 Effects of TFFL on APAP-induced apoptosis rate of LO<sub>2</sub> cells ( $\overline{x} \pm s$ , n = 5)

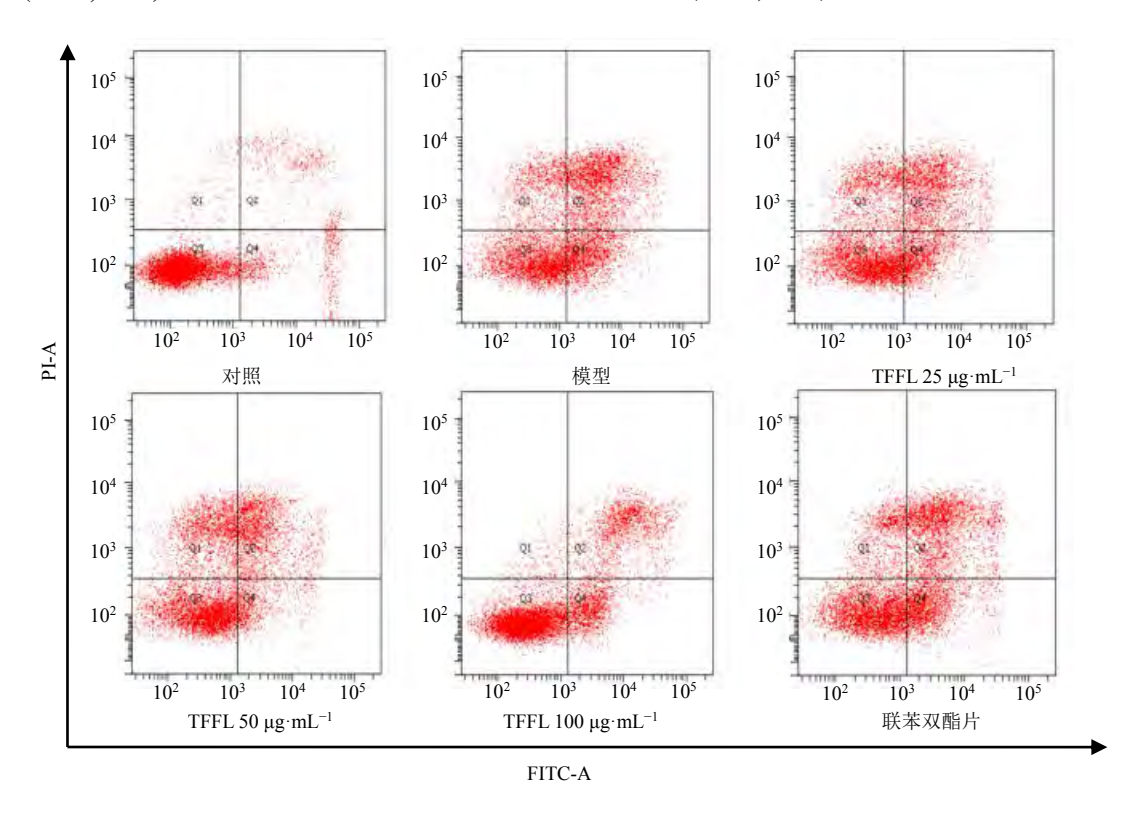


图 5 TFFL 对 APAP 诱导的 LO<sub>2</sub> 细胞凋亡的影响 (流式细胞术)
Fig. 5 Effect of TFFL on APAP-induced apoptosis of LO<sub>2</sub> cells (flow cytometry)

组比较,模型组细胞凋亡率显著升高(P<0.01)。 与模型组比较,TFFL 各质量浓度组细胞凋亡率 显著降低(P<0.01),且呈剂量依赖性。

Hoechst 33342 法检测结果(图 6)表明,对照组细胞核呈现均匀蓝色荧光,色暗,细胞核结构完整,活细胞数目多。模型组细胞核呈现亮蓝色荧光,呈有点状或丝状强荧光,荧光亮度较对照组明显增

强,核发生明显固缩,显微镜下见散在的凋亡小体,说明细胞核固缩乃至凋亡。TFFL 各质量浓度组细胞核在显微镜下固缩形态明显减少,点状或者丝状的荧光也减少,且具有剂量依赖性。联苯双酯片组细胞呈现近暗蓝色荧光,细胞形态固缩较模型组减少。结果表明 TFFL 能够抑制 APAP 诱导的 LO<sub>2</sub>细胞凋亡,并呈剂量依赖性。

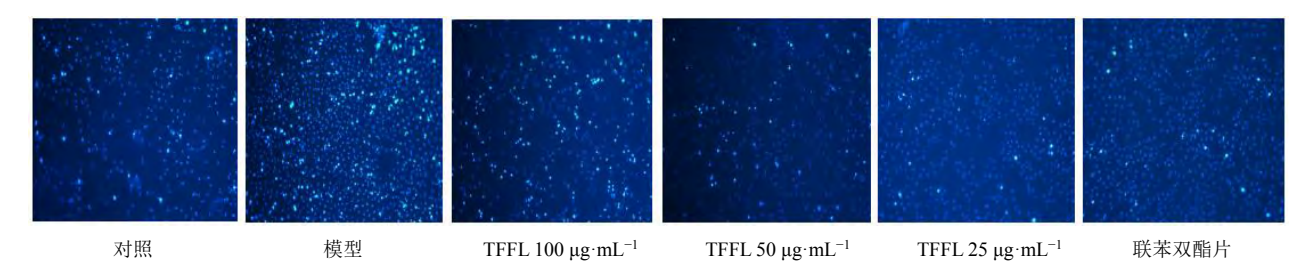


图 6 TFFL 对 APAP 诱导的 LO<sub>2</sub> 细胞凋亡的影响 (×200, Hoechst 33342 染色)

Fig. 6 Effect of TFFL on APAP-induced apoptosis of LO<sub>2</sub> cells (× 200, Hoechst 33342 staining)

# 3.5 TFFL 对 APAP 诱导的 LO<sub>2</sub> 细胞中 AST、SOD 活性及 GSH、MDA 水平的影响

结果(图 7)表明,与对照组比较,模型组细胞中 AST 活性和 MDA 水平显著升高(P<0.01),SOD 活性和 GSH 水平显著降低(P<0.01)。与模型组比较,TFFL 各质量浓度组细胞中 AST 活性和MDA 水平显著降低(P<0.01),而 SOD 活性和 GSH

水平显著升高(*P*<0.05、0.01)。

# 3.6 TFFL 对 APAP 诱导的 LO<sub>2</sub> 细胞中 iNOS 和 NT 蛋白表达的影响

结果(图 8)表明,与对照组比较,模型组 iNOS和 NT 蛋白表达水平显著升高 (P<0.01)。与模型组比较,TFFL 各质量浓度组细胞中 iNOS、NT 蛋白表达水平显著降低 (P<0.01)。

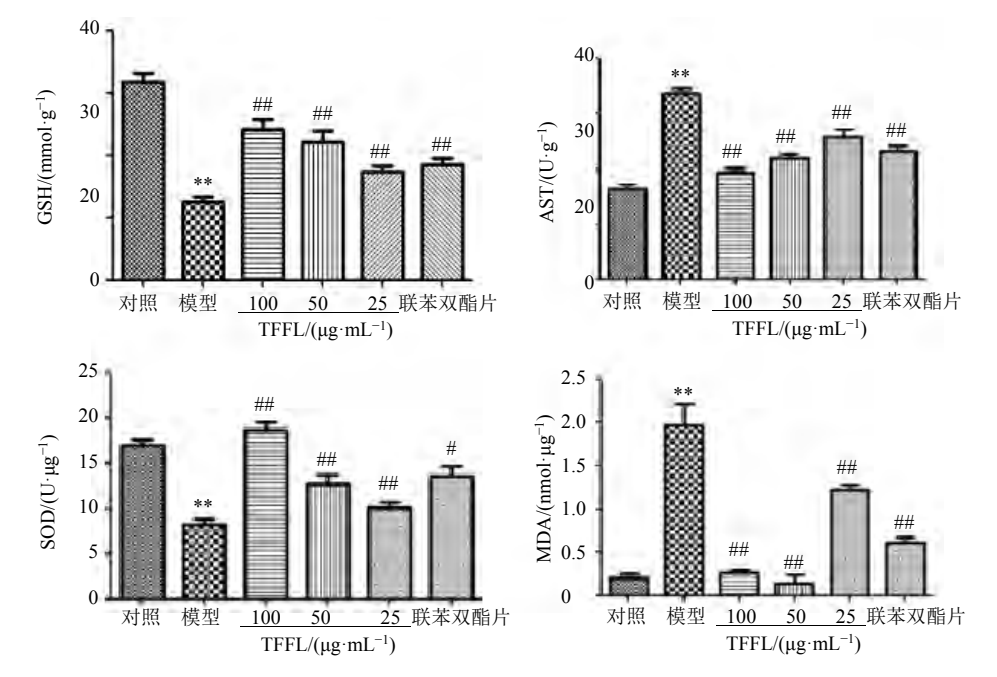


图 7 TFFL 对 APAP 诱导的 LO<sub>2</sub> 细胞中 AST、SOD 活性及 GSH、MDA 水平的影响 ( $\bar{x} \pm s, n = 5$ ) Fig. 7 Effects of TFFL on levels of AST, SOD, GSH, and MDA in APAP-induced LO<sub>2</sub> cells ( $\bar{x} \pm s, n = 5$ )

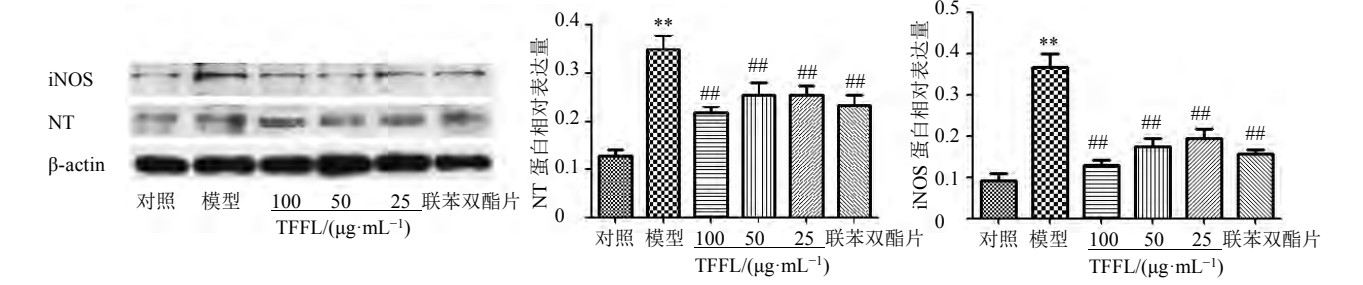


图 8 TFFL 对 APAP 诱导的 LO<sub>2</sub> 细胞中 iNOS 和 NT 蛋白表达的影响  $(\bar{x} \pm s, n = 5)$ Fig. 8 Effect of TFFL on expression of iNOS and NT proteins in APAP-induced LO<sub>2</sub> cells  $(\bar{x} \pm s, n = 5)$ 

#### 4 讨论

APAP 的肝毒性与其在肝内的代谢有关。APAP 主要在肝内与硫酸盐和葡糖苷酸结合, 只有少量被 CYP2E1 酶降解为高毒性的活性代谢物 N-乙酰-对-苯醌亚胺 (NAPQI), NAPQI 与线粒体内 GSH 结合 后解毒。当 APAP 剂量过大时,其代谢过程中产生 的大量 NAPQI 超过了 GSH 的解毒能力,未被清除 的 NAPQI 与细胞和线粒体蛋白质结合,影响其功 能并最终导致细胞坏死[9-11]。APAP 的水溶性较好, 在 70~80 ℃的热水中易溶解,且不易挥发,适于 制备体外肝细胞损伤模型。血清 AST 被认为是肝细 胞损害的敏感指标[12]。MDA 是膜脂过氧化的最终 分解产物,其含量可以反映机体和肝脏脂质过氧化 损伤程度,间接反映肝细胞毒性损伤程度。当 APAP 诱导细胞损伤时,细胞产生炎症因子,促进 iNOS 生成,促进酪氨酸转变为硝基化的酪氨酸,而硝基 化的酪氨酸可以与微管蛋白结合,从而使微管变形, 细胞凋亡[13]。

蒲葵子在南方地区广泛使用,用于治疗肝炎和肝癌。本实验室前期提取分离了蒲葵子的有效部位,并对其中的醋酸乙酯部位进行了一系列抗氧化作用研究<sup>[4]</sup>,得到蒲葵子对双氧水诱导的肝损伤有保护作用。本实验考察 TFFL 对 APAP 诱导的 LO<sub>2</sub> 细胞损伤的保肝作用,初步探讨蒲葵子对肝细胞损伤保护作用的机制。

实验结果表明,TFFL 对 LO<sub>2</sub>细胞无细胞毒性,且可促进其增殖。TFFL 预防给药能够抑制 APAP 诱导的 LO<sub>2</sub>细胞凋亡,降低细胞中 AST 活性和 MDA 水平,升高 SOD 活性和 GSH 水平,抑制细胞中 iNOS 和 NT 蛋白的表达,表明其对 APAP 诱导的肝细胞损伤有一定的保护作用,且保护作用可能与抑制氧化应激和硝化应激有关。后续希望通过动物实验验证这一途径。

#### 参考文献

[1] 孙晓梅, 阎 姝, 田书霞. 中药治疗肝损伤的研究进展 [J]. 中药材, 2016, 5(11): 2664-2667.

- [2] 陈 艳, 姚 宏, 李少光, 等. HPLC 法测定蒲葵药材中六种组分含量 [J]. 药物分析杂志, 2011, 31(4): 645-650.
- [3] 陈 艳, 林新华. 蒲葵子的体外抗癌活性 [J]. 福建医科大学学报, 2008, 42(2): 93-95.
- [4] 张 亮. 蒲葵子抗氧化及保肝活性研究 [D]. 广州: 广州中医药大学, 2016.
- [5] Uzi D, Barda L, Scaiewicz V, et al. CHOP is a critical regulator of acetaminophen-induced hepatotoxicity [J]. J Hepatol, 2013, 3(11): 1118-1129.
- [6] Liu M W, Liu R, Wu H Y, et al. Protective effect of Xuebijing injection on D-galactosamine- and lipopolysaccharide-induced acute liver injury in rats through the regulation of p38 MAPK, MMP-9 and HO-1 expression by increasing TIPE2 expression [J]. Int J Mol Med, 2016, 38(5): 1419-1432.
- [7] Liao W Q, Qi Y L, Wang L, et al. Recql5 protects against lipopolysaccharide/D-galactosamine-induced liver injury in mice [J]. World J Gastroenterol, 2015, 21(36): 176-180.
- [8] Chen Y H, Chen H L, Chien C S, et al. Contribution of mature hepatocytes to biliary regeneration in rats with acute and chronic biliary injury [J]. PLoS One, 2015, 10(8): 543-561.
- [9] Zhang W, Yin L, Tao X, et al. Dioscin alleviates dimethylnitrosamine-induced acute liver injury through regulating apoptosis, oxidative stress and inflammation [J]. Environ Toxicol Pharmacol, 2016, 10(6): 976-997.
- [10] 柳 雷,熊常健,朱岳麟,等. 蒲葵籽活性单体的分离及其抗癌活性研究 [J]. 北京化工大学学报: 自然科学版, 2015, 4(6): 78-83.
- [11] 张东梅, 黄 欣, 闫春雷, 等. 实验性肝损伤模型的研究 进展 [J]. 中国医院药学杂志, 2013, 33(22): 1871-1873.
- [12] Nelson S D. Mechanisms of the formation and disposition of reactive metabolites that can cause acute liver injury [J]. *Drug Metab Rev*, 1995, 27(1/2): 147-177.
- [13] Pumford N R, Halmes N C, Hinson J A. Covalent binding of xenobiotics to specific proteins in the liver [J]. *Drug Metab Rev*, 1997, 10(5): 6675-6683.